

Зауважимо, що умови /4/ з врахуванням /9/ можна записати у вигляді

$$S_1'(x) - h(T_2 - T_1) = 0 \quad \text{або} \quad S_2'(x) - h(T_2 - T_1) = 0 \quad \text{на } L/20/$$

Рівняння /18/ або /19/ можна замінити відповідною умовою /20/.

Для побудови наближеного розв'язку одержаної системи сингулярних інтегральних та інтегро-диференціальних рівнянь в успіхом можна застосувати метод ортогональних поліномів.

Для визначення ширини смуги контакту необхідно використати першу умову /7/ і умову обмеженості контактних напружень всюди на відрізку контакту, включаючи кінці.

Список літератури: 1. Гриліцький Д.В., Попович Б.І. Плоскі контактні задачі термопружності. - Львів: Вища школа, 1973. 2. Коровчинський М.В. Плоская контактная задача термоупругости при стационарном тепловыделении на поверхностях соприкасания. - В кн.: Контактная прочность машиностроительных материалов. М.: Наука, 1964.

Стаття надійшла в редколегію 5.12.81

УДК 539.3

Д.В.Гриліцький, Б.С.Окрепкій

ОСЕСИМЕТРИЧНА ЗАДАЧА ПРО ТИСК ШТАМПА

НА ІЗОТОПНИЙ ШАР, ЯКИЙ ЛЕЖИТЬ

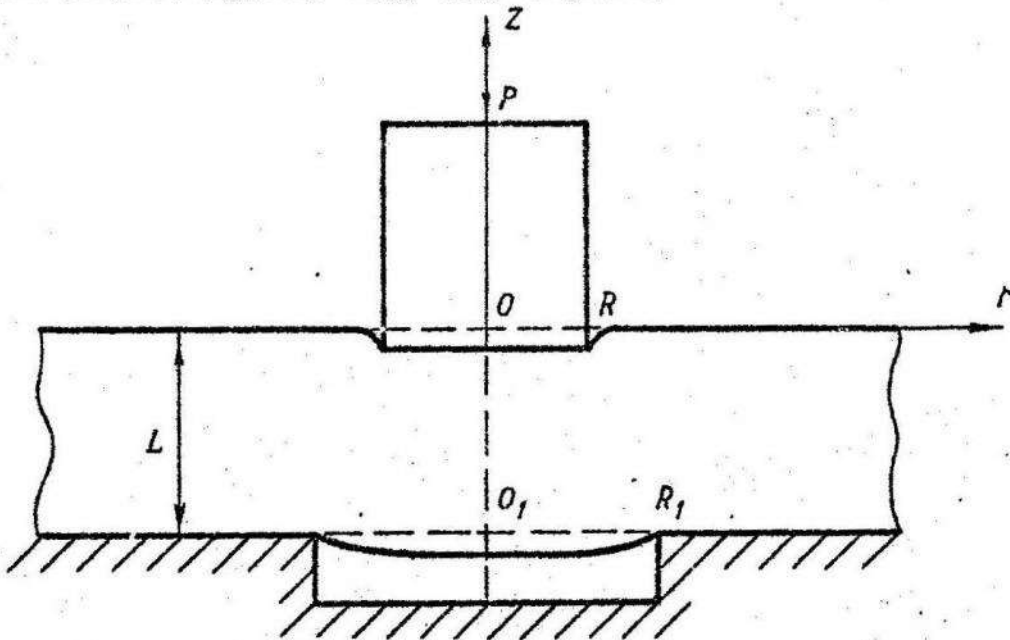
НА ЖОРСКІЙ ОСНОВІ З ВИРІЗОМ

Розглянемо бежемений плоскопаралельний шар скінченої товщини  $L$ , який лежить на жорсткій гладкій основі з вирізом циліндичної форми.

Нехай у шар силовою  $P$  втискується жорсткий круговий циліндричний штамп з плоскою гладкою основою радіусом  $R$ . Лінія дії сили  $P$  збігається з осі симетрії штампа та вирізу основи /рис. I/.

Припускаємо, що поверхні шару зовні штампа та над вирізом вільні від зовнішніх зусиль. Визначимо напруження під штампом і переміщення нижньої границі шару над вирізом.

Рис. I.



Для розв'язування задачі введемо циліндричну систему координат  $r, \theta, z$  з площиной  $z=0$ , яка збігається з верхньою поверхнею шару та віссю  $OZ$ , напрямленою всередину штампа по його осі симетрії.

Поставлену задачу досліджуватимемо при таких граничних умовах:

$$U_z = -\varepsilon \quad (z=0, 0 \leq r < R), \quad /1/$$

$$T_{rz} = 0 \quad (z=0, 0 \leq r < \infty), \quad /2/$$

$$G_z = 0 \quad (z=0, R < r < \infty), \quad /3/$$

$$G_z = 0 \quad (z=-L, 0 \leq r < R), \quad /4/$$

$$T_{rz} = 0 \quad (z=-L, 0 \leq r < \infty), \quad /5/$$

$$U_z = 0 \quad (z=-L, R < r < \infty), \quad /6/$$

$R_1$  — радіус основи кругового циліндричного вирізу;  $\varepsilon$  — переміщення штампа.

При розв'язуванні задачі скористаємося загальними спiввiдношеннями [1] для знаходження перемiщень i напружень в iзотропному шарi:

$$\begin{aligned} U_z &= - \int_0^\infty \eta^{\frac{1}{2}} \left\{ \left[ \frac{1}{B, R} \eta F_1(\eta) + \left( 2 + \frac{1}{B, R} \eta^3 \right) F_2(\eta) \right] e^{-\eta^5} + \right. \\ &\quad \left. + \left[ \frac{1}{B, R} \eta F_3(\eta) + \left( -2 + \frac{1}{B, R} \eta^3 \right) F_4(\eta) \right] e^{-\eta^5} \right\} J_0(\eta \rho) d\eta, \\ G_z &= \frac{2B_3}{R} \int_0^\infty \left\{ \left[ \frac{\eta}{R} F_1(\eta) + (\beta_1 + \eta^3) F_2(\eta) \right] e^{-\eta^5} + \right. \\ &\quad \left. + \left[ -\frac{\eta}{R} F_3(\eta) + (\beta_2 - \eta^3) F_4(\eta) \right] e^{-\eta^5} \right\} J_0(\eta \rho) d\eta, \\ T_{rz} &= \frac{2B_3}{R} \int_0^\infty \left\{ \left[ \frac{\eta}{R} F_1(\eta) + (-\beta_2 + \eta^3) F_2(\eta) \right] e^{-\eta^5} + \right. \\ &\quad \left. + \left[ \frac{\eta}{R} F_3(\eta) + \beta_2 + \eta^3 \right] F_4(\eta) \right\} J_0(\eta \rho) d\eta, \end{aligned}$$

де  $G_z$ ,  $T_{rz}$ ,  $U_z$  – компоненти напружень i перемiщень в пружному шарi;  $F_i(\eta)$  ( $i=1,4$ ) – невiдомi функцiї;

$$\rho = \frac{\eta}{R}, \quad \beta_1 = \frac{\mu}{\lambda + \mu}, \quad \beta_2 = \frac{\lambda}{\lambda + \mu}, \quad \beta_3 = \lambda + \mu;$$

$\lambda, \mu$  – коефiцiєнти Ляме.

Задовiльнивши граничнi умови /21, 15/ i ввiвши позначення

$$\eta F_1(\eta) = \frac{1}{R} F_1(\eta) + \beta_1 F_2(\eta) - \frac{1}{R} F_3(\eta) + \beta_2 F_4(\eta),$$

$$\begin{aligned} \eta F_2(\eta) &= -\frac{1}{B, R} \eta^{\frac{1}{2}} e^{\eta^5} F_1(\eta) - \left( 2 - \frac{1}{B, R} \eta^3 \right) e^{\eta^5} F_2(\eta) - \\ &\quad - \frac{1}{B, R} \eta^{\frac{1}{2}} e^{\eta^5} F_3(\eta) + \left( 2 + \frac{1}{B, R} \eta^3 \right) e^{\eta^5} F_4(\eta). \end{aligned}$$

Для напружень  $G_z(\rho, \xi)$  i перемiщень  $U_z(\rho, \xi)$  на верхнiй i нижнiй граничних площинах шару одержаємо формули

$$u_z(\rho, 0) = \frac{1+\beta_1}{\beta_1} R \int_0^\infty [1 - G(2\eta\ell)] \Phi_1(\eta) J_0(\eta\rho) d\eta +$$

$$+ R \int_0^\infty \frac{P_1(\eta)}{Q_1(\eta)} \Phi_2(\eta) J_0(\eta\rho) d\eta,$$

$$\zeta_z(\rho, 0) = 2\beta_3 \int_0^\infty \eta \Phi_1(\eta) J_0(\eta\rho) d\eta,$$

$$u_z(\rho, -\ell) = R \int_0^\infty \Phi_2(\eta) J_0(\eta\rho) d\eta,$$

$$\zeta_z(\rho, -\ell) = 2\beta_3 \left[ \int_0^\infty \eta \frac{P_1(\eta)}{Q_1(\eta)} \Phi_1(\eta) J_0(\eta\rho) d\eta - \right.$$

$$\left. - \frac{\beta_1}{1+\beta_1} \int_0^\infty \eta \frac{R_1(\eta)}{Q_1(\eta)} \Phi_2(\eta) J_0(\eta\rho) d\eta \right],$$

$$\text{ge } \ell = \frac{L}{R}; \quad P_1(\eta) = 2 (\operatorname{sh} \eta\ell + \eta\ell \operatorname{ch} \eta\ell);$$

$$R_1(\eta) = 2 (\operatorname{sh}^2 \eta\ell - \eta^2 \ell^2);$$

$$Q_1(\eta) = \operatorname{sh} 2\eta\ell + 2\eta\ell; \quad G(2\eta\ell) = \frac{1+2\eta\ell-\ell^{2\eta\ell}}{\operatorname{sh} 2\eta\ell+2\eta\ell}$$

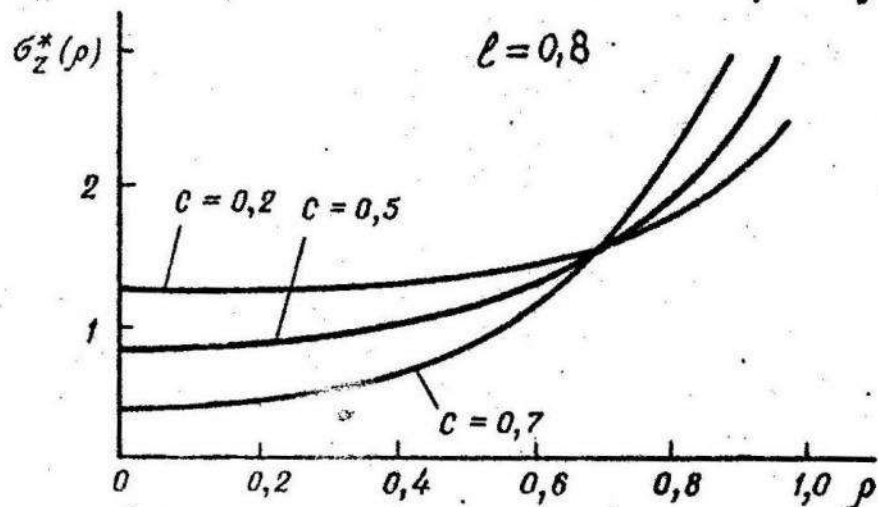


FIG. 2.

Вимагаючи виконання граничних умов /I/, /3/, /4/ і /6/,  
приходимо до системи інтегральних рівнянь відносно функцій  $\Phi_1(\eta)$   
і  $\Phi_2(\eta)$

$$\frac{1+\beta_1}{\beta_1} \int_0^{\infty} \Phi_1(\eta) J_0(\eta\rho) d\eta = -\frac{E}{R} + \frac{1+\beta_1}{\beta_1} \int_0^{\infty} G(2\eta l) \Phi_1(\eta) J_0(\eta\rho) d\eta - \\ - \int_0^{\infty} \frac{P_1(\eta)}{Q_1(\eta)} \Phi_2(\eta) J_0(\eta\rho) d\eta \quad (\rho < 1), \quad /9/$$

$$\int_0^{\infty} \eta \Phi_1(\eta) J_0(\eta\rho) d\eta = 0 \quad (\rho > 1), \quad /10/$$

$$\frac{1+\beta_1}{\beta_1} \int_0^{\infty} \eta \cdot \frac{P_1(\eta)}{Q_1(\eta)} \Phi_1(\eta) J_0(\eta\rho) d\eta - \\ - \int_0^{\infty} \eta \frac{R_1(\eta)}{Q_1(\eta)} \Phi_2(\eta) J_0(\eta\rho) d\eta = 0 \quad (\rho < c), \quad /11/$$

$$\int_0^{-\infty} \Phi_2(\eta) J_0(2\rho) d\eta = 0 \quad (\rho > c), \quad /12/$$

$$\text{де } c = R_1/R.$$

Якщо ввести функцію  $f(t)$  за формулой

$$\dot{\Phi}_1(\eta) = \frac{\beta_1}{1+\beta_1} \int_0^1 f(t) \cos \eta t dt, \quad /13/$$

то рівняння /10/ задовільняється тотожно, а рівняння /9/ зводиться до інтегрального рівняння Абеля

$$\int_0^{\rho} \frac{f(t)}{\sqrt{\rho^2 - t^2}} dt = g(\rho),$$

/14/

розв'язок якого дається формулою [4]

$$f(t) = \frac{2}{\pi} \frac{d}{dt} \int_0^t \frac{\rho g(\rho)}{\sqrt{t^2 - \rho^2}} d\rho,$$

/15/

де

$$g(\rho) = -\frac{\varepsilon}{R} + \frac{1+b_1}{b_1} \int_0^\infty G(2\eta l) \Phi_1(\eta) J_0(\eta\rho) d\eta -$$

$$-\int_0^\infty \frac{P_1(\eta)}{Q_1(\eta)} \Phi_2(\eta) J_0(\eta\rho) d\eta.$$

/16/

Підставивши співвідношення /16/ в формулу /15/ і враховуючи при цьому /13/, одержуємо інтегральне рівняння Фредгольма другого роду відносно функції  $f(t)$

$$f(t) = -\frac{2\varepsilon}{\pi R} + \frac{2}{\pi} \int_0^t f(x) dx \int_0^\infty G(2\eta l) \cos \eta x \cos \eta t d\eta -$$

$$-\frac{2}{\pi} \int_0^\infty \frac{P_1(\eta)}{Q_1(\eta)} \Phi_2(\eta) \cos \eta t d\eta \quad (0 \leq t < 1).$$

/17/

Контактні напруження під штампом  $\sigma_z(\rho, 0)$  з врахуванням /13/ визначаємо за формулою

$$\sigma_z(\rho, 0) = \chi_0 \left[ \frac{f(1)}{\sqrt{1-\rho^2}} - \int_{\rho}^1 \frac{f'(t) dt}{\sqrt{1-t^2}} \right] \quad (\rho < 1),$$

/18/

де

$$\chi_0 = \frac{2b_1 b_2}{1+b_1}.$$

Використавши умову рівноваги штампа  $P = -2\pi R^2 \int_0^{\rho} \rho G_z(\rho) d\rho$

і вираз /18/, рівняння /17/ набуде вигляду

$$\begin{aligned} \psi(t) - \frac{2}{\pi} \int_0^t \psi(x) dx \int_0^{\infty} G(2\eta t) \cos \eta x (\cos \eta t - \frac{\sin \eta}{\eta}) d\eta + \\ + \frac{2}{\pi} \int_0^{\infty} \frac{P_1(\eta)}{Q_1(\eta)} \Phi(\eta) (\cos \eta t - \frac{\sin \eta}{\eta}) d\eta = 1 \quad (0 \leq t < 1), \end{aligned} \quad /19/$$

де

$$f(t) = -\frac{\rho}{2\pi R^2 \chi_0} \psi(t); \quad \Phi(\eta) = -\frac{\rho}{2\pi R^2 \chi_0} \Phi(\eta); \quad /20/$$

$\Phi(\eta), \psi(t)$  – невідомі функції.

Підставивши співвідношення /20/ в рівняння /11/ і /12/ та використовуючи при цьому /13/, приходимо до такої системи інтегральних рівнянь:

$$\begin{aligned} \int_0^t \psi(x) dx \int_0^{\infty} \eta \frac{P_1(\eta)}{Q_1(\eta)} J_0(2\eta\rho) \cos \eta x d\eta - \\ - \int_0^{\infty} \eta \frac{P_1(\eta)}{Q_1(\eta)} \Phi(\eta) J_0(2\eta\rho) d\eta = 0 \quad (\rho < c), \end{aligned} \quad /21/$$

$$\int_0^{\infty} \Phi(\eta) J_0(\eta\rho) d\eta = 0 \quad (\rho > c). \quad /22/$$

Таким чином, для визначення двох функцій  $\psi(t)$  і  $\Phi(\eta)$  маємо інтегральне рівняння /19/ і парні інтегральні рівняння /21/ – /22/. Для визначення функції  $\Phi(\eta)$  продовжимо рівняння /22/ на інтервал  $(0 \leq \rho < \infty)$

$$\int_0^{\infty} \Phi(\eta) J_0(\eta\rho) d\eta = U(c-\rho) X(\rho) \quad (0 \leq \rho < \infty). \quad /23/$$

тут  $U(x)$  - функція Хевісайда;  $X(\rho)$  - невідома функція, яку шукаємо з допомогою формули

$$X(\rho) = \sum_{K=1}^N a_K J_0 \left( \frac{\lambda_K}{C} \rho \right), \quad /24/$$

де  $J_0(x)$  - функція Бесселя від дійсного аргумента;  $a_K (K=1, N)$  - невідомі коефіцієнти, що підлягають визначенню;  $\lambda_K (K=1, \infty)$  - додатні корені рівняння  $J_0(\lambda_K) = 0$ .

Застосувавши до обох частин рівняння /23/ формулу обернення інтегрального перетворення Ханкеля [3], знаходимо функцію

$$\Phi(\eta) = - \sum_{K=1}^N \lambda_K J_1(\lambda_K) a_K \frac{\eta J_0(\eta c)}{\eta^2 - \frac{\lambda_K^2}{C^2}}. \quad /25/$$

Переміщення нижньої границі шару  $U_z(\rho, -\ell)$  /8/ з врахуванням /20/ і /25/ визначаємо за формулой

$$U_z(\rho, -\ell) = - \frac{\rho}{2\pi R^2 \chi_0} \sum_{K=1}^N a_K J_0 \left( \frac{\lambda_K}{C} \rho \right). \quad /26/$$

Підставивши  $\Phi(\eta)$  із /25/ в інтегральні рівняння /19/ і /21/, дістаемо співвідношення, які зв'язують функцію  $\psi(t)$  і коефіцієнти  $a_K (K=1, N)$

$$\begin{aligned} \psi(t) &= -\frac{2}{\pi} \int_0^1 \psi(x) dx \int_0^\infty G(2\eta t) \cos \eta x (\cos \eta t - \frac{\sin \eta}{\eta}) d\eta - \\ &- \frac{2}{\pi} \sum_{K=1}^N \lambda_K J_1(\lambda_K) a_K (t) a_K = 1 \quad (0 \leq t < 1), \end{aligned} \quad /27/$$

$$\int_0^1 \psi(x) \beta(x, \rho) dx + \sum_{K=1}^N a_K \lambda_K J_1(\lambda_K) \beta(\rho) = 0 \quad (\rho < c). \quad /28/$$

тут  $\alpha_k(t)$ ,  $\beta(x, \rho)$ ,  $\beta_k(\rho)$  ( $k = 1, N$ ) – відомі функції.

Помноживши обидві частини рівняння /28/ на  $\rho J_0(\lambda_n \rho)$  і проінтегрувавши по  $\rho$  в межах від 0 до 1, та використовуючи при цьому умову ортогональності функцій Бесселя, знаходимо

$$\int_0^1 \psi(x) \beta_{0,n}(x) dx + \sum_{k=1}^N \lambda_k J_0(\lambda_k) \beta_{k,n} \alpha_k = 0 \quad (n = 1, N). \quad /29/$$

Функція  $\beta_{0,n}(x)$  і коефіцієнти  $\beta_{k,n}$  ( $k, n = 1, N$ ) – відомі.

Застосувавши метод скінчених сум [2] для розв'язування системи інтегральних рівнянь /27/ і /29/, прийдемо до системи лінійних алгебраїчних рівнянь відносно невідомих  $\psi(t_i)$  ( $i = 1, N+1$ ) і  $\alpha_k$  ( $k = 1, N$ )

$$\begin{aligned} \psi(t_i) - \frac{2}{\pi} \sum_{k=1}^N A_k g_k(t_k, t_i) \psi(t_k) - \\ - \frac{2}{\pi} \sum_{k=1}^N \alpha_k \lambda_k J_0(\lambda_k) \alpha_k(t_i) = 1 \quad (i = 1, N+1), \\ \sum_{k=1}^N A_k \beta_{0,n}(t_k) \psi(t_k) + \sum_{k=1}^N \alpha_k \lambda_k J_0(\lambda_k) \beta_{k,n} = 0 \quad (n = 1, N), \end{aligned} \quad /30/$$

де

$$g_k(t_k, t_i) = \int_0^\infty G(2\eta k) \cos \eta t_k (\cos \eta t_i - \frac{\sin \eta}{\eta}) d\eta;$$

$$t_i = (i-1)/N \quad (i = 1, N+1); \quad A_i = A_{N+1} = \frac{1}{2N};$$

$$A_k = \frac{1}{N} \quad (k = 1, N)$$

числові коефіцієнти для квадратурної формули трапецій. Число  $N$  підбирається таким, щоб забезпечити необхідну точність розв'язку.

Визначили невідомі  $\psi(t_k)$  із системи лінійних алгебраїчних рівнянь /30/, для функції  $\psi(x)$  побудуємо апроксимуючий

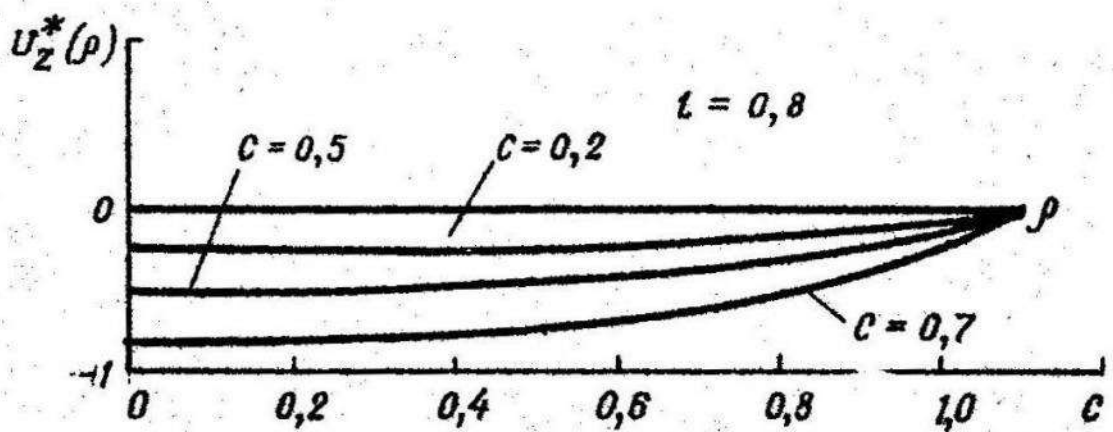


Рис. 3.

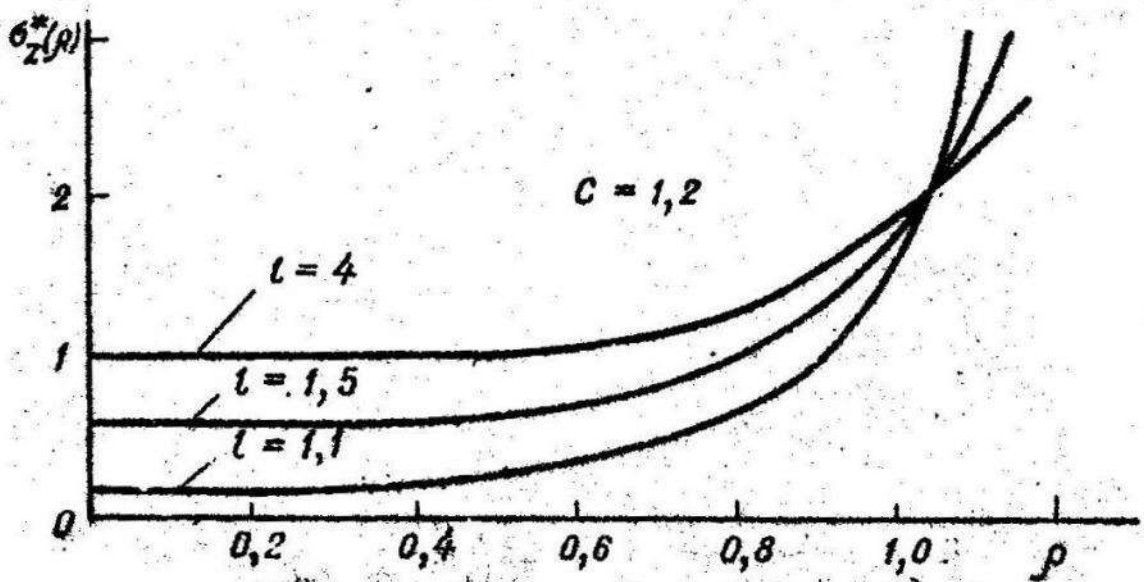


Рис. 4.

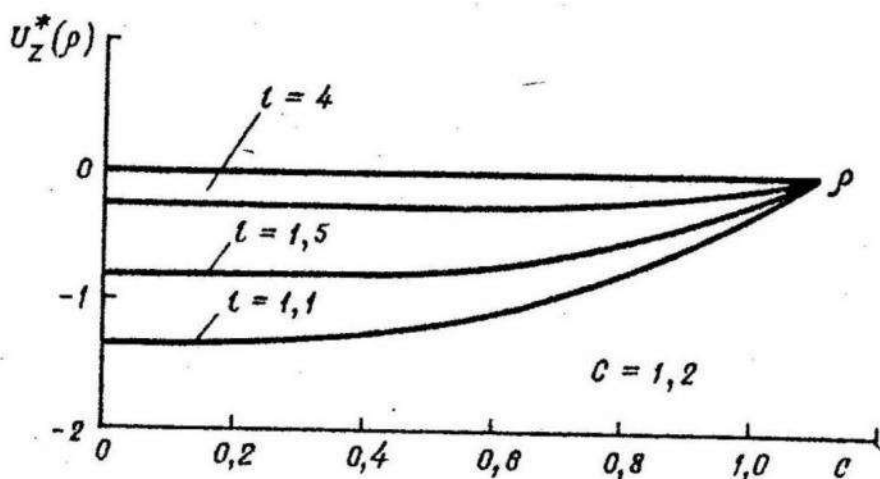


Рис. 5.

многочлен [2]

$$Q_{2m}(x) = \sum_{k=0}^m C_k x^{2k}$$

/31/

який використовується для знаходження пружно-деформованого стану шару.

Наприклад, для визначення контактних напружень під штампом з врахуванням формул /18/, /20/ і /31/ одержуємо

$$\begin{aligned} G_z(\rho, 0) = & -\frac{\rho}{2\pi R^2} \frac{1}{\sqrt{1-\rho^2}} \left[ \sum_{k=0}^m C_k - \right. \\ & \left. - 2\sqrt{1-\rho^2} \sum_{k=1}^m k C_k \sum_{i=0}^{k-1} \binom{k-1}{i} (1-\rho^2)^{2k-2i-2} \right] (\rho < 1). \end{aligned}$$

/32/

Наведемо результати числового аналізу контактних напружень під штампом і переміщень нижньої границі шару залежно від параметрів  $C = R/L$ ,  $\ell = L/R$ .

На ЕОМ ЕС-1022 розв'язували системи лінійних алгебраїчних рівнянь /30/ 41-го порядку відносно невідомих  $\psi(t_i)$  і  $a_k$  ( $i = 1, 2, \dots, 11$ ;  $k = 1, 2, \dots, 20$ ).

Для функції  $\psi(x)$  достатньо побудувати апроксимуючий многочлен

$$Q_{10}(x) = \sum_{k=0}^5 C_k x^{2k}$$

/33/

який використовується для визначення напружень під штампом згідно з формулою /32/.

Графіки величин  $\mathcal{G}_z(\rho, 0) = -\frac{\rho}{2\pi R^2} \mathcal{G}_z^*(\rho)$ ,  
 $U_z(\rho, \ell) = -\frac{\rho}{2\pi R^2 \chi_0} U_z^*(\rho)$  для значень  $\ell = 0,8$ ;  
 $C = 0,2; 0,5; 0,7$  показані на рис. 2, 3, а для значень  
 $C = 1, 2; \ell = 1,1; 1,5; 4$  - на рис. 4, 5.

Дослідження показують, що зі зменшенням товщини шару при фіксованому радіусі вирізу основи та зі збільшенням радіуса вирізу основи при фіксованій товщині шару контактні напруження під штампом спадають, а переміщення нижньої границі шару над вирізом зростають.

Список літератури: 1. Грилицкий Д.В., Кизима Я.М. Осесимметричные контактные задачи теории упругости и термоупругости. - Львов: Выща школа. Изд-во при Львов. ун-те, 1981. 2. Демидович Б.П., Марон И.А., Шувалова Э.З. Численные методы анализа. - М.: Физматгиз, 1967. 3. Снеддон И.Н. Преобразования Фурье. - М.: ИЛ, 1955. 4. Уиттекер Э.Т., Ватсон Г.Н. Курс современного анализа. - М.: Физматгиз, 1963.

Стаття надійшла в редколегію 15.02.82

УДК 539.3

І.П.Шацький

ПОЛОГА ЦИЛІНДРИЧНА ОБОЛОНКА  
З ЖОРСТКИМ ВІКЛЮЧЕННЯМ ВЗДОВЖ НАПРЯМОЇ

Розглянемо пологу циліндричну оболонку Кірхгофа радіуса  $R$  і товщини  $h$ , яка містить абсолютно жорстке лінійне віклення довжини  $2b$ , локалізоване вздовж відрізка напрямної. Оболонка перебуває під дією симетричного відносно лінії віклення навантаження. Дослідимо вплив кривини серединної поверхні оболонки на концентрацію напружень в околі кінців жорсткого віклення.